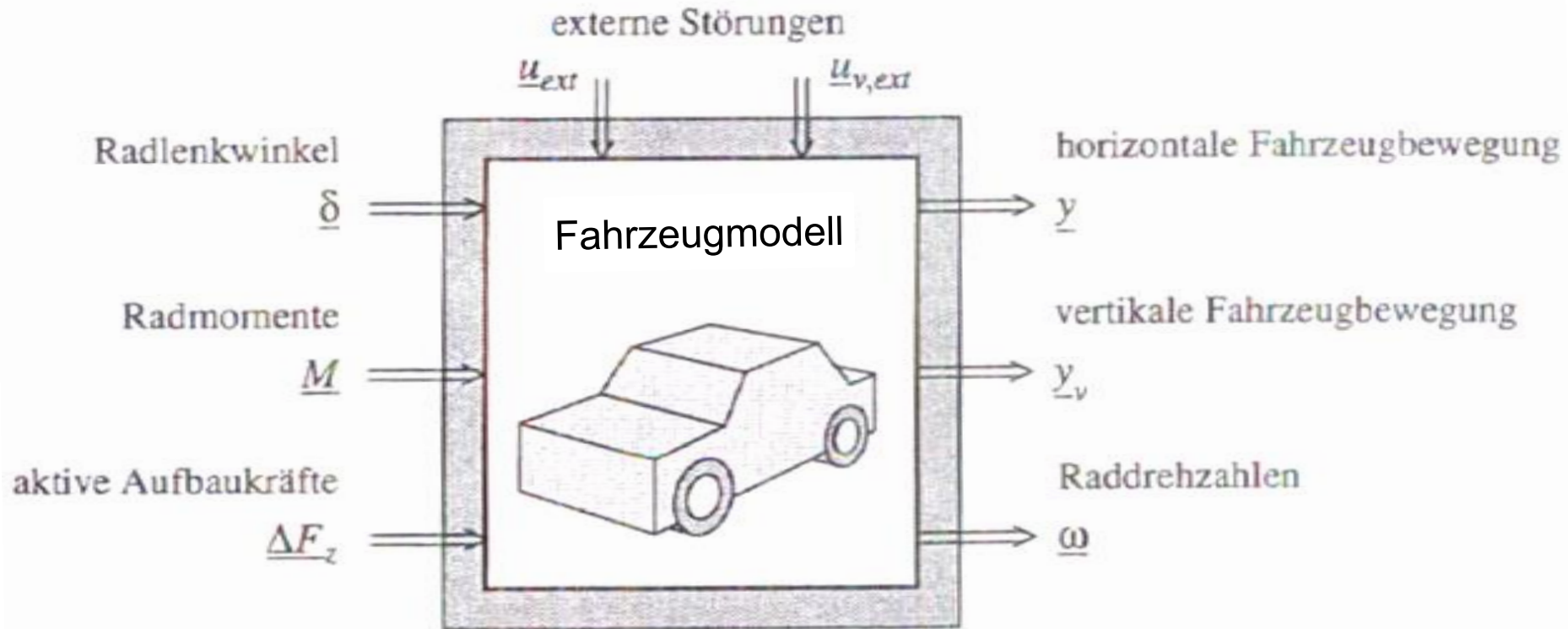


## Fahrzeugregelung: Übung (Zweispurmodell)

M.Sc. Thang Nguyen

Prof. Dr.-Ing. Steffen Müller | Fachgebiet Kraftfahrzeuge | Fakultät Verkehrs- und Maschinensystem

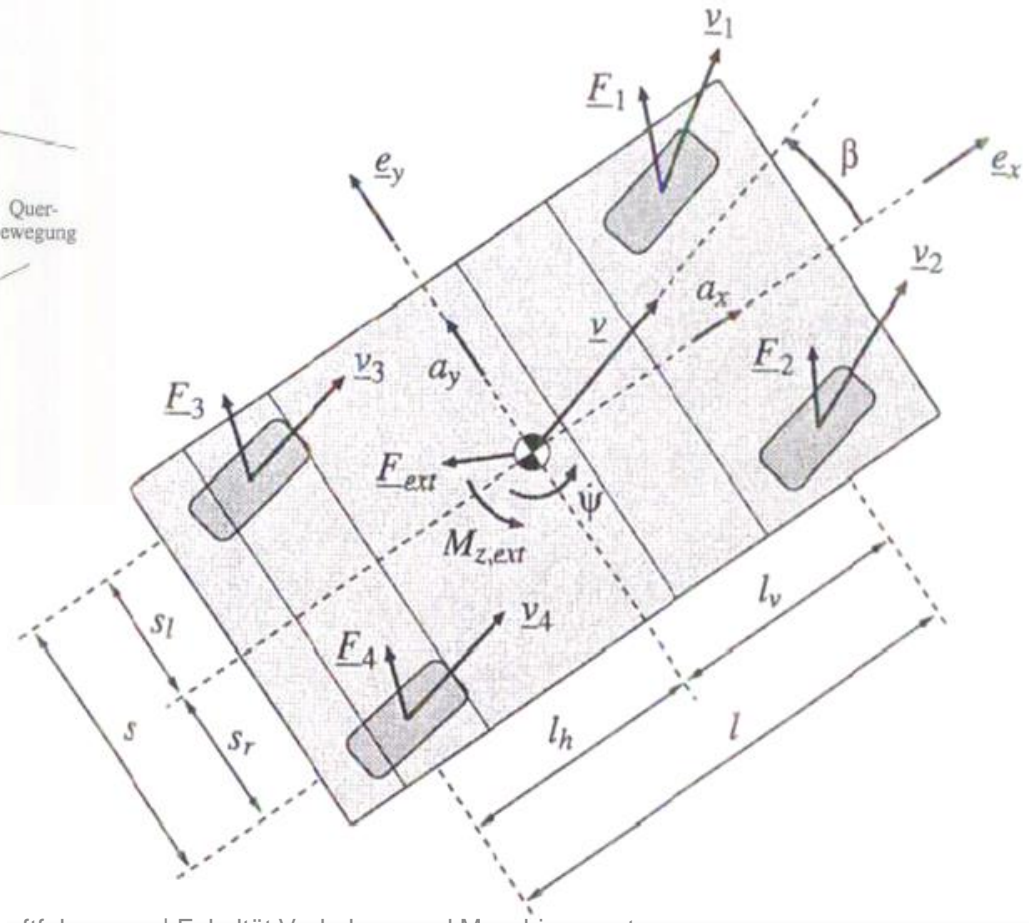
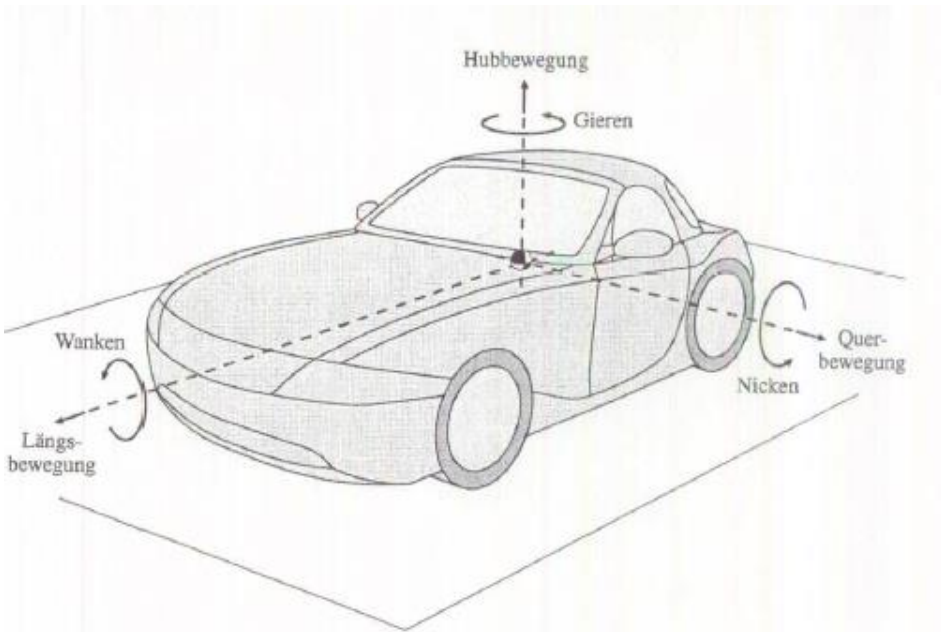


## Annahmen

- Aerodynamik, Fahrbahnneigungen und Änderungen der Reibverhältnisse zwischen Reifen und Fahrbahn werden als externe Störungen und Parameterschwankungen dargestellt
- Fahrzeug besitzt Einzelradaktorik (Lenken, Antriebsmoment, Aktive Aufbaukräfte)
- Vernachlässigung von Kinematik und Elastokinematik der Radaufhängungen
- Lineares Verhalten der Aufbaufedern und -dämpfer
- Isotrope Reifencharakteristik

## Vereinfachungen

- Vernachlässigbar kleine Abstützwinkel der Radaufhängung
- Vernachlässigung von Reifensturz



# Ebene Fahrzeugbewegung

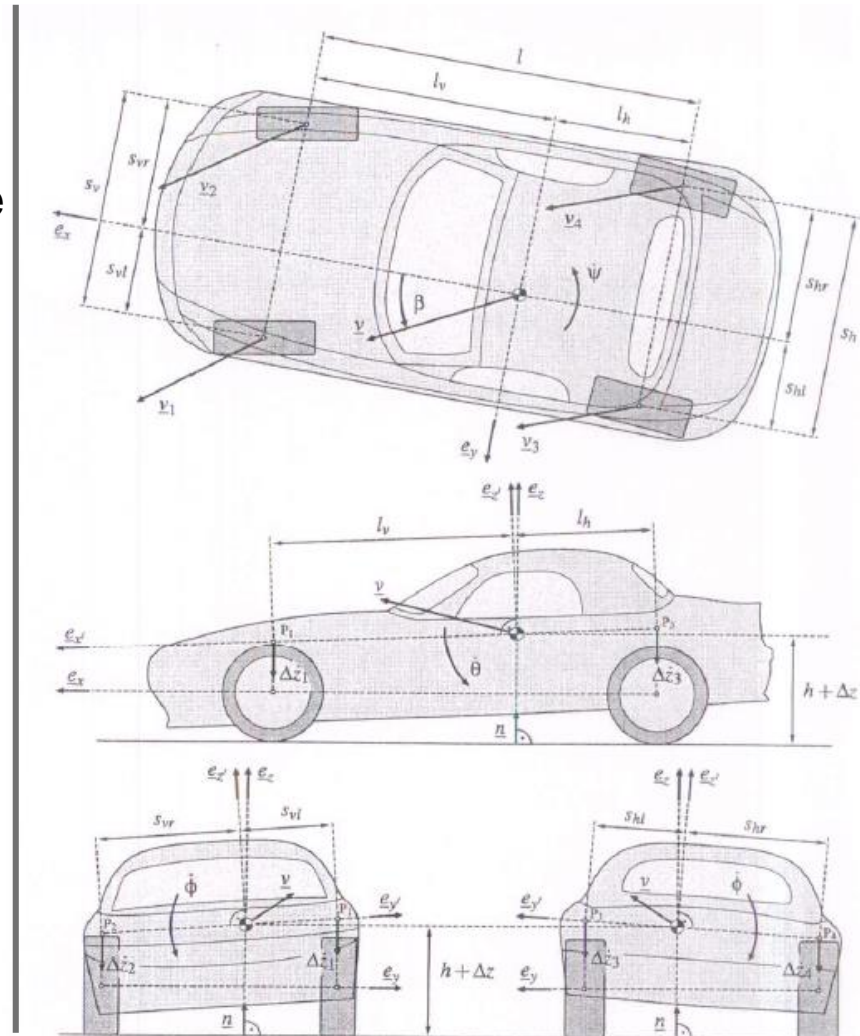
Fahrzeugaufbau besitzt

- drei miteinander verkoppelte translatorische Freiheitsgrade
- drei miteinander verkoppelte rotatorische Freiheitsgrade
- Kopplung zwischen der horizontalen und vertikalen Bewegung ist schwach

➔ **Vernachlässigung**

## Koordinatensysteme:

- Fahrwerkfestes KOS ( $\underline{e}_i$ )
- KOS ( $\underline{e}_i$ ) rotiert mit  $\dot{\psi}$  um Normalenrichtung der  $\underline{n}$  Fahrbahnebene
- Aufbaufestes KOS ( $\underline{e}_i$ )
- Alle Radmittelpunkte befinden sich in einer Ebene parallel zur Fahrbahn, und damit auch das Fahrwerk





Es gilt:

$$\begin{aligned}\dot{\underline{e}}_x &= \dot{\psi} \underline{e}_y \\ \dot{\underline{e}}_y &= -\dot{\psi} \underline{e}_x\end{aligned}\quad (1.1)$$

Es folgt mit (1.1):

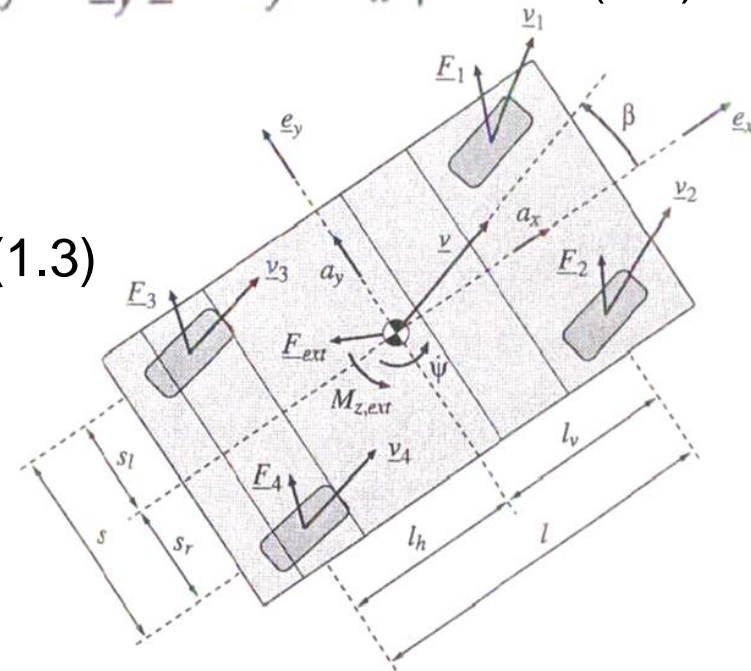
$$\underline{v} = v_x \underline{e}_x + v_y \underline{e}_y, \quad a_x = \underline{e}_x^T \dot{\underline{v}} = \dot{v}_x - v_y \dot{\psi}, \quad a_y = \underline{e}_y^T \dot{\underline{v}} = \dot{v}_y + v_x \dot{\psi} \quad (1.2)$$

Die Ausrichtung des Fahrzeugs wird durch den Schwimmwinkel berechnet:

$$\beta = \arctan\left(\frac{v_y}{v_x}\right), \quad v = \|\underline{v}\| = \sqrt{v_x^2 + v_y^2} \quad (1.3)$$

Die Komponenten der Fahrzeuggeschwindigkeit ergeben dann im Fahrzeug-KOS:

$$v_x = v \cos(\beta), \quad v_y = v \sin(\beta) \quad (1.4)$$



Die Geschwindigkeit der Radmittelpunkte lautet:

$$\underline{v}_i = v_{xi} \underline{e}_x + v_{yi} \underline{e}_y, \quad i = 1 \dots 4 \quad (1.5)$$

Für die Radmittelpunkte mit den Fahrzeugabmessungen und Gl. (1.1) folgt :

$$\underline{v}_1 = \underline{v} + \frac{d}{dt} (l_v \underline{e}_x + s_l \underline{e}_y) = (v_x - \dot{\psi} s_l) \underline{e}_x + (v_y + \dot{\psi} l_v) \underline{e}_y, \quad (1.6)$$

$$\underline{v}_2 = \underline{v} + \frac{d}{dt} (l_v \underline{e}_x - s_r \underline{e}_y) = (v_x + \dot{\psi} s_r) \underline{e}_x + (v_y + \dot{\psi} l_v) \underline{e}_y, \quad (1.7)$$

$$\underline{v}_3 = \underline{v} + \frac{d}{dt} (-l_h \underline{e}_x + s_l \underline{e}_y) = (v_x - \dot{\psi} s_l) \underline{e}_x + (v_y - \dot{\psi} l_h) \underline{e}_y, \quad (1.8)$$

$$\underline{v}_4 = \underline{v} + \frac{d}{dt} (-l_h \underline{e}_x - s_r \underline{e}_y) = (v_x + \dot{\psi} s_r) \underline{e}_x + (v_y - \dot{\psi} l_h) \underline{e}_y. \quad (1.9)$$

Als eingeprägte Kräfte wirken an der Fahrzeugmasse die Radkräfte:

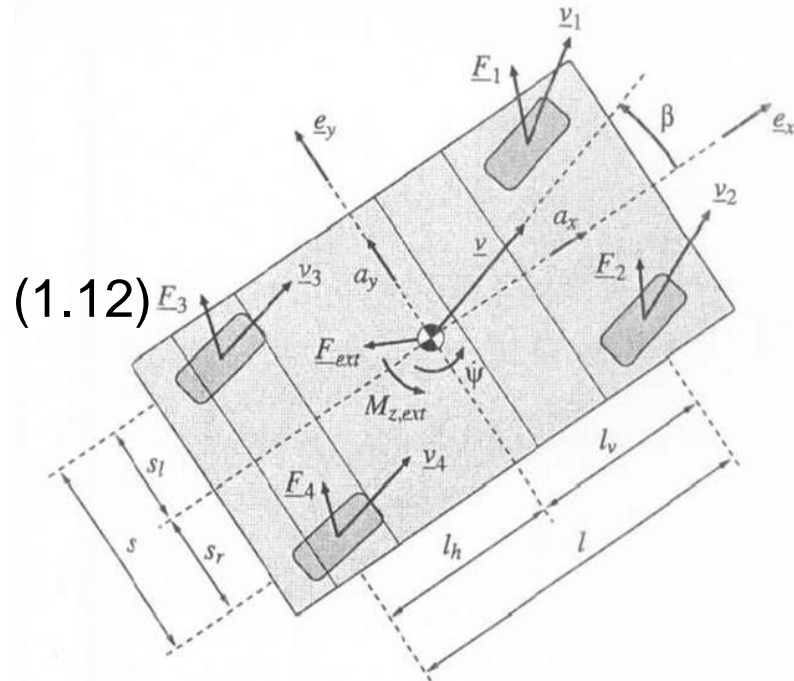
$$\underline{F}_i = F_{xi} \underline{e}_x + F_{yi} \underline{e}_y, \quad i = 1 \dots 4 \quad (1.10)$$

Die äußeren Einflüsse auf das Fahrzeug werden durch

$$\underline{F}_{ext} = F_{x,ext} \underline{e}_x + F_{y,ext} \underline{e}_y \quad (1.11)$$

vorgegeben. Aus dem SPS ergibt sich:

$$m \dot{\underline{v}} = \underline{F}_1 + \underline{F}_2 + \underline{F}_3 + \underline{F}_4 + \underline{F}_{ext} \quad (1.12)$$





Mit (1.2) und (1.12) ergeben sich die skalaren Gleichungen für die translatorische Bewegung:

$$\dot{v}_x = v_y \dot{\psi} + \frac{1}{m} (F_x + F_{x,ext}) , \quad (1.13)$$

$$\dot{v}_y = -v_x \dot{\psi} + \frac{1}{m} (F_y + F_{y,ext}) \quad (1.14)$$

mit den resultierenden Kräften aus den Rädern:

$$F_x = F_{x1} + F_{x2} + F_{x3} + F_{x4} , \quad F_y = F_{y1} + F_{y2} + F_{y3} + F_{y4} \quad (1.15)$$

Die Momentenbilanz um die Hochachse führt zu

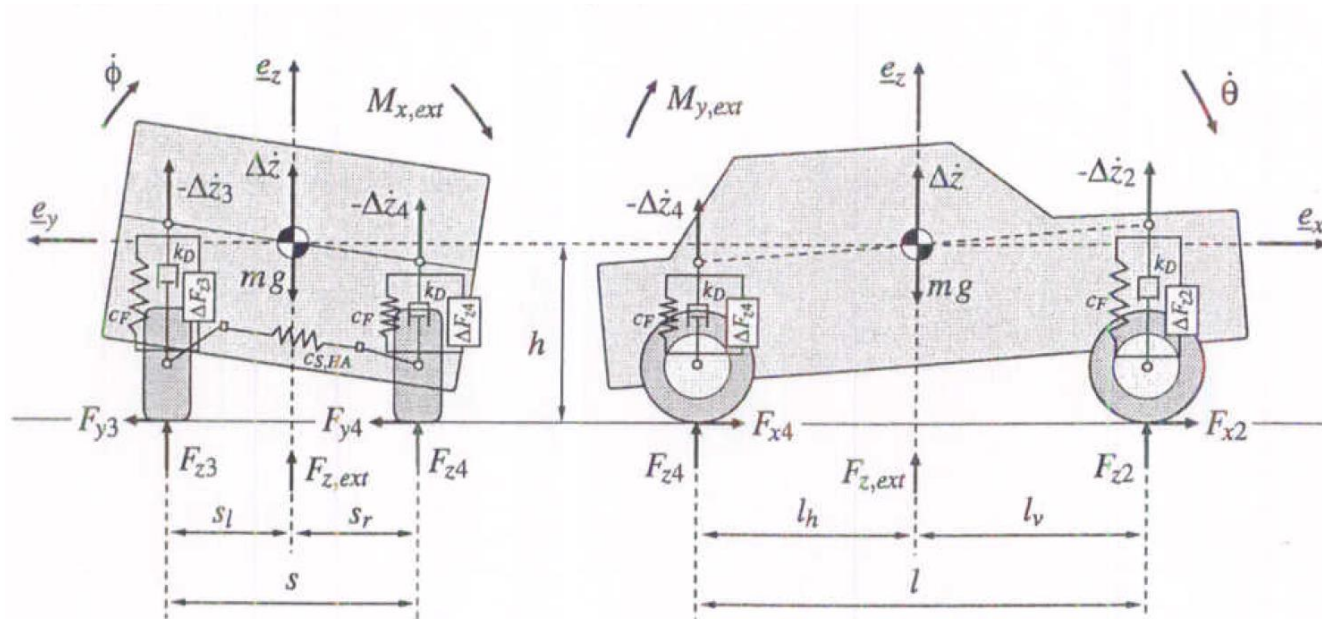
$$J_z \ddot{\psi} = M_z + M_{z,ext} \quad (1.16)$$

mit

$$M_z = -s_l F_{x1} + s_r F_{x2} - s_l F_{x3} + s_r F_{x4} + l_v F_{y1} + l_v F_{y2} - l_h F_{y3} - l_h F_{y4} \quad (1.17)$$

Die Gleichungen (1.13), (1.14) und (1.16) beschreiben nun die horizontale Fahrzeugdynamik in der Ebene.

## Vertikaldynamik



- Die Aufbaumasse ist über gefederte Radaufhängung mit den Rädern verbunden.
- Reifenkräfte sowie externe Kräfte/Momente verursachen Reaktionskräfte am Fahrzeugaufbau, welche vertikale Bewegungen (Wanken, Nicken, Hubbewegung) verursachen.
- Die Aufbaufedern und -dämpfer sind linear in ihrem Verhalten sowie durch das Fahrzeuggewicht bereits vorgespannt und an den Achsen befinden sich Stabilisatoren (Federsteifigkeiten).
- In der stat. Ruhelage sind alle Federwege sowie die Wank- und Nickwinkel null. Es stellen sich die Federvorspannkräfte und die Höhe  $h$  des Schwerpunktes ein.
- Da die Wank- und Nickwinkel meist  $<10^\circ$  sind, werden Kleinwinkel-näherungen genutzt, um die Bewegungsgleichungen zu vereinfachen.

Durch eine Kleinwinkelnäherung gilt für die Radhubdifferenz an jedem Rad die Beziehung

$$-\Delta \dot{z}_1 = \Delta \dot{z} + s_l \dot{\phi} - l_v \dot{\theta}, \quad -\Delta z_1 = \Delta z + s_l \phi - l_v \theta \quad (1.26)$$

$$-\Delta \dot{z}_2 = \Delta \dot{z} - s_r \dot{\phi} - l_v \dot{\theta}, \quad -\Delta z_2 = \Delta z - s_r \phi - l_v \theta \quad (1.27)$$

$$-\Delta \dot{z}_3 = \Delta \dot{z} + s_l \dot{\phi} + l_h \dot{\theta}, \quad -\Delta z_3 = \Delta z + s_l \phi + l_h \theta \quad (1.28)$$

$$-\Delta \dot{z}_4 = \Delta \dot{z} - s_r \dot{\phi} + l_h \dot{\theta}, \quad -\Delta z_4 = \Delta z - s_r \phi + l_h \theta \quad (1.29)$$

Mit Berücksichtigung der externen Kräfte  $F_{z,ext}$ ,  $M_{x,ext}$ ,  $M_{y,ext}$  ergeben sich mit dem Wankträgheitsmoment  $J_x$  und dem Nickträgheitsmoment  $J_y$  des Aufbaus die BDGL der vertikalen Aufbaubewegungen zu:

$$m\Delta\ddot{z} = -mg + \sum_{i=1}^4 (c_F \Delta z_i + F_{z,F0,i}) + \sum_{i=1}^4 k_D \Delta\dot{z}_i + \sum_{i=1}^4 \Delta F_{zi} + F_{z,ext}, \quad (1.30)$$

$$\begin{aligned} J_x \ddot{\phi} = & s_l (c_F (\Delta z_1 + \Delta z_3) + F_{z,F0,1} + F_{z,F0,3}) - s_r (c_F (\Delta z_2 + \Delta z_4) + F_{z,F0,2} + F_{z,F0,4}) \\ & + s_l k_D (\Delta\dot{z}_1 + \Delta\dot{z}_3) - s_r k_D (\Delta\dot{z}_2 + \Delta\dot{z}_4) - (c_{S,VA} + c_{S,HA}) \phi \\ & + s_l (\Delta F_{z1} + \Delta F_{z3}) - s_r (\Delta F_{z2} + \Delta F_{z4}) + h (F_{y1} + F_{y2} + F_{y3} + F_{y4}) + M_{x,ext}, \end{aligned} \quad (1.31)$$

$$\begin{aligned} J_y \ddot{\theta} = & l_h (c_F (\Delta z_3 + \Delta z_4) + F_{z,F0,3} + F_{z,F0,4}) - l_v (c_F (\Delta z_1 + \Delta z_2) + F_{z,F0,1} + F_{z,F0,2}) \\ & + l_h k_D (\Delta\dot{z}_3 + \Delta\dot{z}_4) - l_v k_D (\Delta\dot{z}_1 + \Delta\dot{z}_2) \\ & + l_h (\Delta F_{z3} + \Delta F_{z4}) - l_v (\Delta F_{z1} + \Delta F_{z2}) - h (F_{x1} + F_{x2} + F_{x3} + F_{x4}) + M_{y,ext}. \end{aligned} \quad (1.32)$$



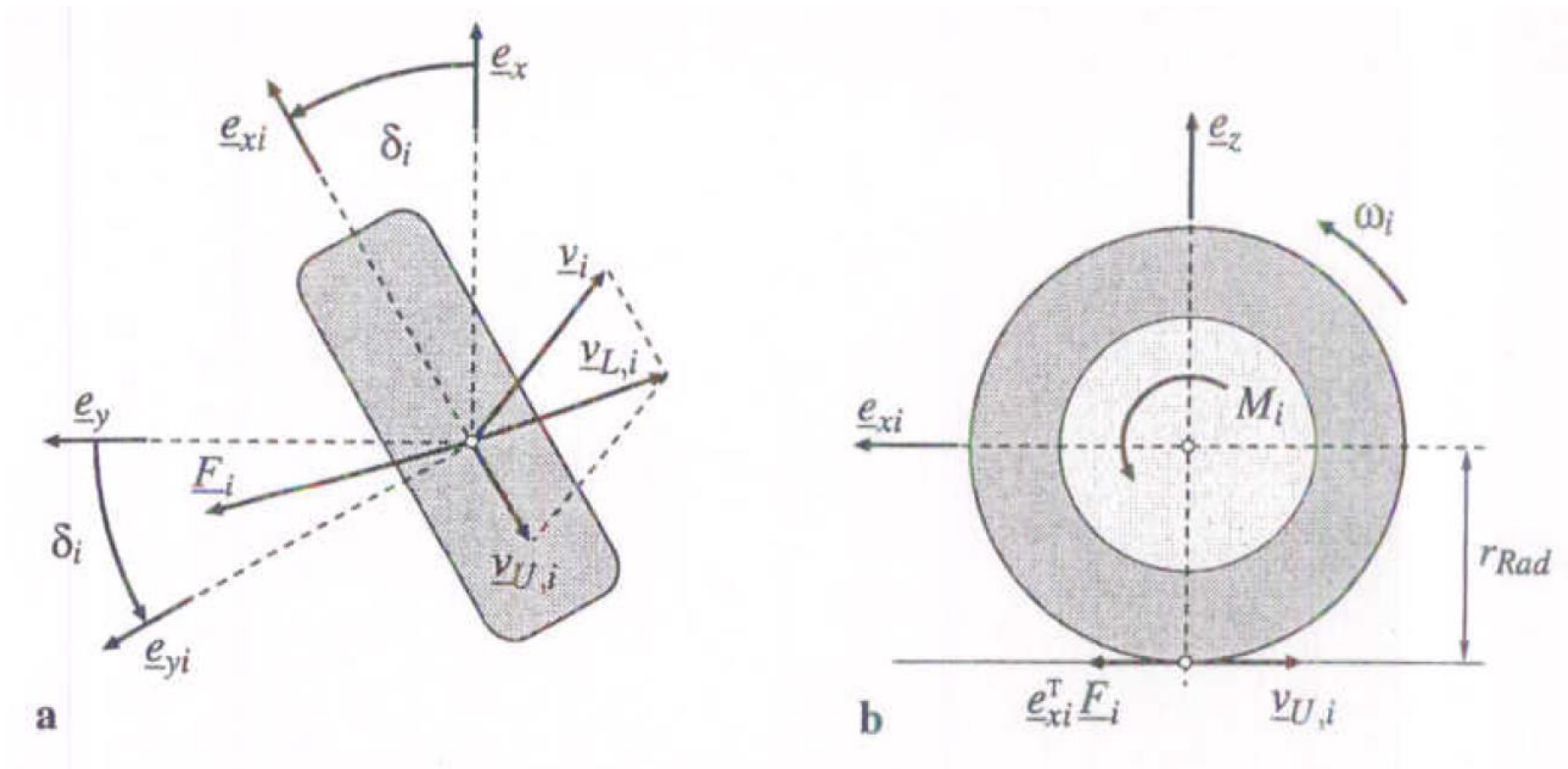
Da die Vorspannkräfte der Aufbaufedern die Summe der Gewichtskräfte kompensieren, entsteht durch sie kein Wank-/Nickmoment und mit (1.26) - (1.29) sowie (1.30) – (1.32) folgt:

$$m \Delta \ddot{z} = -4 c_F \Delta z - 4 k_D \Delta \dot{z} - 2 c_F (s_l - s_r) \phi - 2 k_D (s_l - s_r) \dot{\phi} - 2 c_F (l_h - l_v) \theta - 2 k_D (l_h - l_v) \dot{\theta} + (\Delta F_{z1} + \Delta F_{z2} + \Delta F_{z3} + \Delta F_{z4}) + F_{z,ext} , \quad (1.33)$$

$$J_x \ddot{\phi} = -2 c_F (s_l - s_r) \Delta z - 2 k_D (s_l - s_r) \Delta \dot{z} - (2 c_F (s_l^2 + s_r^2) + c_{S,VA} + c_{S,HA}) \phi - 2 k_D (s_l^2 + s_r^2) \dot{\phi} - c_F (s_l - s_r) (l_h - l_v) \theta - k_D (s_l - s_r) (l_h - l_v) \dot{\theta} + s_l (\Delta F_{z1} + \Delta F_{z3}) - s_r (\Delta F_{z2} + \Delta F_{z4}) + h F_y + M_{x,ext} , \quad (1.34)$$

$$J_y \ddot{\theta} = -2 c_F (l_h - l_v) \Delta z - 2 k_D (l_h - l_v) \Delta \dot{z} - c_F (s_l - s_r) (l_h - l_v) \phi - k_D (s_l - s_r) (l_h - l_v) \dot{\phi} - 2 c_F (l_h^2 + l_v^2) \theta - 2 k_D (l_h^2 + l_v^2) \dot{\theta} + l_h (\Delta F_{z3} + \Delta F_{z4}) - l_v (\Delta F_{z1} + \Delta F_{z2}) - h F_x + M_{y,ext} . \quad (1.35)$$

Da angenommen wird, dass jedes Rad individuell gelenkt werden kann, wird für jedes Rad auch ein radfestes KOS festgelegt.



Dieses wird um den Lenkwinkel  $\delta_i$  an jedem Rad gegenüber dem Fahrzeug-KOS gedreht:

$$\underline{e}_{xi} = \cos(\delta_i) \underline{e}_x + \sin(\delta_i) \underline{e}_y, \quad \underline{e}_{yi} = -\sin(\delta_i) \underline{e}_x + \cos(\delta_i) \underline{e}_y, \quad i = 1 \dots 4 \quad (1.36)$$

Die Geschwindigkeit am Reifengürtel (Radaufstandspunkt) ergibt sich nun zu:

$$\underline{v}_{L,i} = \underline{v}_i + \underline{v}_{U,i}, \quad i = 1 \dots 4 \quad (1.37)$$

wobei  $\underline{v}_i$  die translatorische Geschwindigkeit nach (1.6) – (1.9) ist und  $\underline{v}_{U,i}$  die Umfangsgeschwindigkeit des Rades:

$$\underline{v}_{U,i} = -\underline{e}_{xi} r_{Rad} \omega_i, \quad i = 1 \dots 4 \quad (1.38)$$

Entsprechend dem daraus resultierenden Schlupf entstehen die Radkräfte in Längs- und Querrichtung. Zusammen mit dem Radantriebs- und -bremsmoment stellt sich die Raddrehzahl wie folgt ein:

$$J_{Rad} \dot{\omega}_i = M_i - \underline{e}_{xi}^T \underline{F}_i r_{Rad}, \quad i = 1 \dots 4 \quad (1.39)$$

Abschließend entsteht mit (1.10) und (1.36) die BDGL des Rades zu:

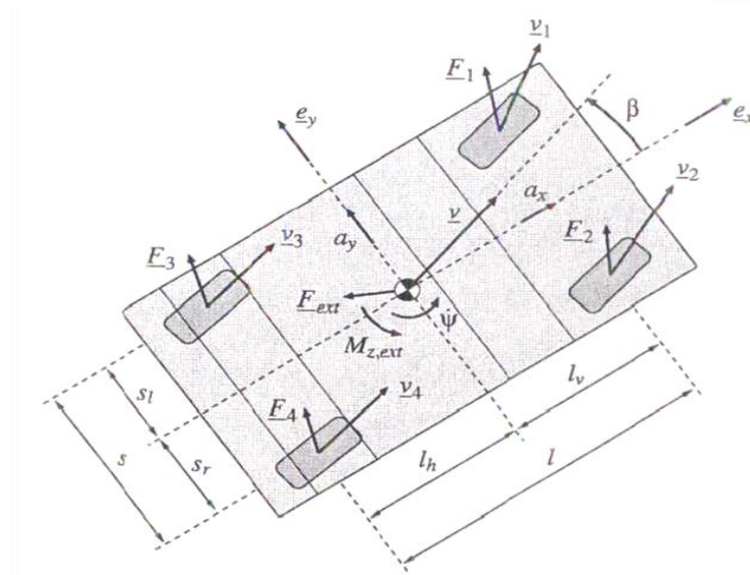
$$J_{Rad} \dot{\omega}_i = M_i - r_{Rad} \cos(\delta_i) F_{xi} - r_{Rad} \sin(\delta_i) F_{yi} , \quad i = 1 \dots 4 \quad (1.40)$$

## Horizontaldynamik

$$\dot{v}_x = v_y \dot{\psi} + \frac{1}{m} (F_x + F_{x,ext}) ,$$

$$\dot{v}_y = -v_x \dot{\psi} + \frac{1}{m} (F_y + F_{y,ext})$$

$$J_z \ddot{\psi} = M_z + M_{z,ext}$$



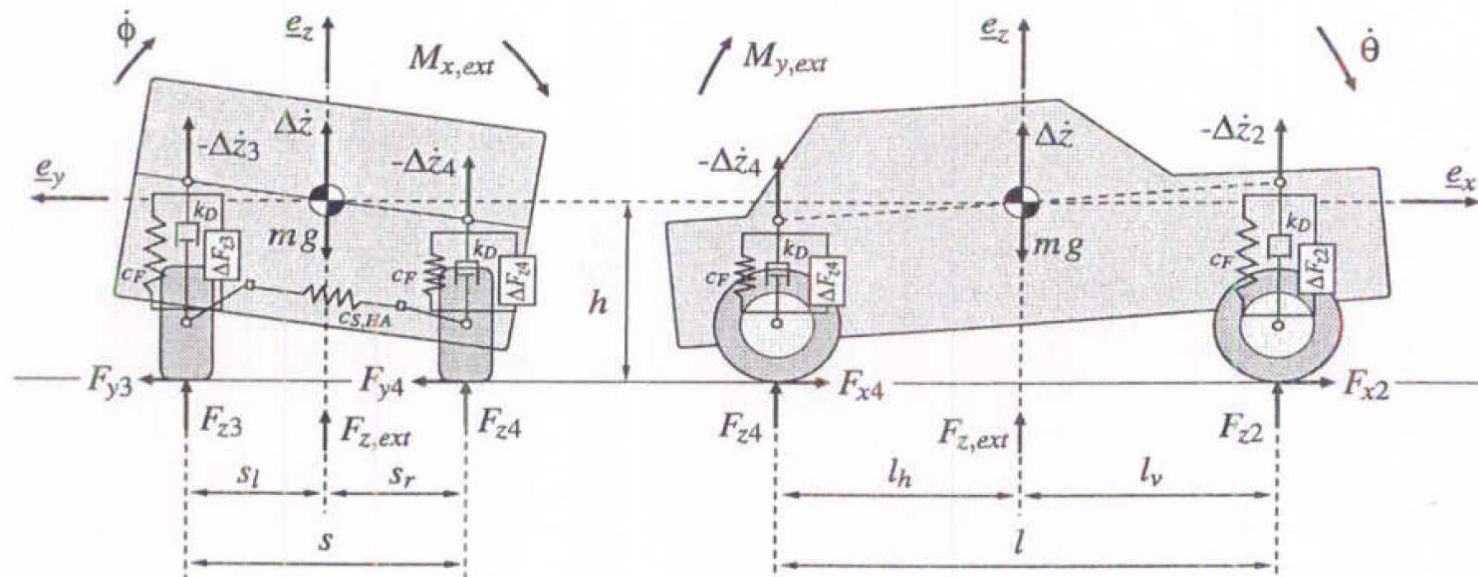
## Vertikaldynamik

$$\begin{aligned}
 m \Delta \ddot{z} = & -4c_F \Delta z - 4k_D \Delta \dot{z} - 2c_F (s_l - s_r) \phi - 2k_D (s_l - s_r) \dot{\phi} \\
 & - 2c_F (l_h - l_v) \theta - 2k_D (l_h - l_v) \dot{\theta} + (\Delta F_{z1} + \Delta F_{z2} + \Delta F_{z3} + \Delta F_{z4}) + F_{z,ext} , \\
 J_x \ddot{\phi} = & -2c_F (s_l - s_r) \Delta z - 2k_D (s_l - s_r) \Delta \dot{z} - (2c_F (s_l^2 + s_r^2) + c_{S,VA} + c_{S,HA}) \phi \\
 & - 2k_D (s_l^2 + s_r^2) \dot{\phi} - c_F (s_l - s_r) (l_h - l_v) \theta - k_D (s_l - s_r) (l_h - l_v) \dot{\theta} \\
 & + s_l (\Delta F_{z1} + \Delta F_{z3}) - s_r (\Delta F_{z2} + \Delta F_{z4}) + h F_y + M_{x,ext} ,
 \end{aligned}$$



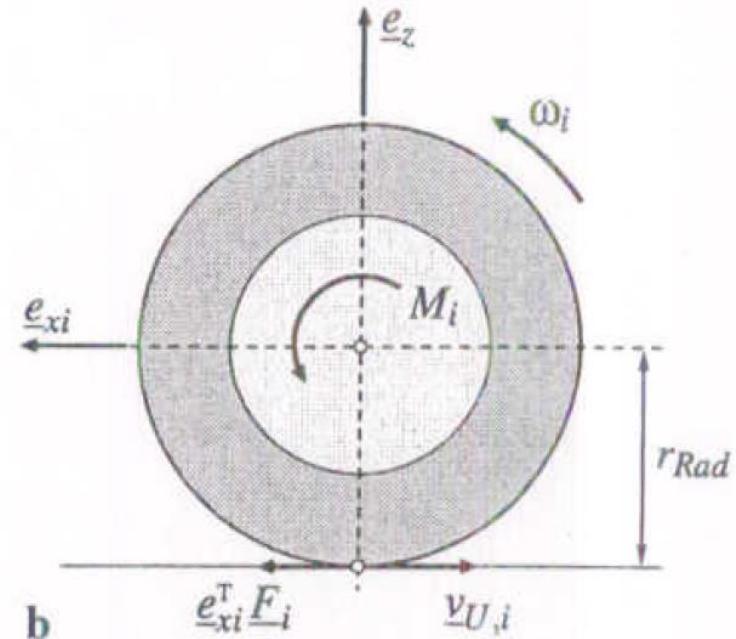
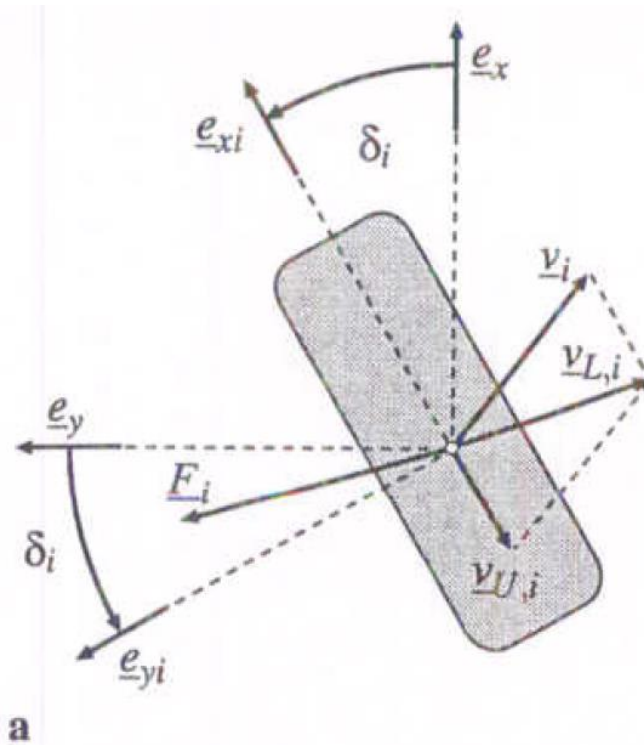
## Vertikaldynamik

$$J_y \ddot{\theta} = -2c_F (l_h - l_v) \Delta z - 2k_D (l_h - l_v) \Delta \dot{z} - c_F (s_l - s_r) (l_h - l_v) \phi - k_D (s_l - s_r) (l_h - l_v) \dot{\phi} - 2c_F (l_h^2 + l_v^2) \theta - 2k_D (l_h^2 + l_v^2) \dot{\theta} + l_h (\Delta F_{z3} + \Delta F_{z4}) - l_v (\Delta F_{z1} + \Delta F_{z2}) - h F_x + M_{y,ext}.$$



## Dynamik des Rades

$$J_{Rad} \dot{\omega}_i = M_i - r_{Rad} \cos(\delta_i) F_{xi} - r_{Rad} \sin(\delta_i) F_{yi}, \quad i = 1 \dots 4$$



Vielen Dank für Ihre Aufmerksamkeit!